文章编号: 1674 - 7054(2016) 02 - 0232 - 05

# 利用毒素蛋白基因 ccdB 构建高效低背景 T-载体

## 耿晓姗<sup>1</sup> 刘 秦<sup>1</sup> 党会杰<sup>2</sup> 武军政<sup>2</sup> 罗丽娟<sup>1</sup>

(1. 海南大学 农学院,海口 570228; 2. 海南大学 海南省热带生物资源可持续利用重点实验室/省部共建国家重点实验室培育基地,海口 570228)

关键词: 高效; 低背景; ccdB 基因; pMD19-T Simple Vector; T-载体

中图分类号: Q 782 文献标志码: A DOI: 10. 15886/j. cnki. rdswxb. 2016. 02. 016

分子克隆技术作为研究分子生物学的一种常规技术手段 ,应用范围广泛。通过体外 PCR 扩增 ,获得 目的片段 然后克降至高拷贝载体上 通过特定的筛选标记 获取包含插入目的片段载体的宿主细胞 扩 大培养后 提取质粒 最终获得大量拷贝的目的片段。无论宿主细胞还是连接了外源基因的质粒 都可以 长久保存,为下游的各种实验研究提供了便利条件。T-A 克隆利用 Taq DNA 聚合酶对 DNA 模板 3 端的 非依赖添加 1 个 dA( 脱氧腺苷) 的特性[1] 使得 PCR 产物可以直接连到 3c 末端突出 1 个 dT( 脱氧胸苷) 的 T-载体上。T-载体的商业化使得分子克隆变得快捷、方便,但也存在价格昂贵,产品质量不一,无法循 环使用等不足。目前 制备 T 载体的方法主要有 PCR 法和内切酶法。前者利用耐热 Taq DNA 聚合酶催 化,以dTTP 为底物,在2个3c 末端加上1个胸腺嘧啶残基(dT), 纯化后获得 T-载体[2] 但由于在反应中, 无法保证每个 3c 末端都能加上 dT 所以克隆过程中出现假阳性的概率较大 增大了筛选阳性克隆的工作 量。后者利用 Xcm  $I^{[3]}$  Hph  $I^{[4]}$  Bfu I , Ahd I 等限制性内切酶酶切载体 .使其酶切后在 3c 末端各有 1 个 dT 突出碱基。Xcm I 酶识别序列 CCA( N5/N4) TGG ,当第8位碱基为T时,通过同时酶切2个方向相反的 Xcm I 位点 即可获得线性 T-载体 ,但当载体酶切不完全时载体较容易产生自连。商业化的 T-载体大多采 用  $\beta$  – 半乳糖甘酶显色反应选择法进行阳性克隆的筛选 插入外源基因的载体在宿主细胞中无法合成  $\beta$  – 半 乳糖核苷酶 进而无法分解色素底物 X-gal 最终形成白色菌斑 而转入空载的宿主细胞则形成蓝色菌斑。当 插入片段不足以破坏 $\beta$  – 半乳糖核苷酶的开放阅读框时 同样会出现假阳性。大肠杆菌的  $\Gamma$  质粒上存在的 毒素 - 抗毒素系统 ccd(control of cell division or death system) . 该系统编码毒素蛋白 ccdB 和抗毒素蛋白  $\operatorname{ccdA}^{[5]}$ 。 $\operatorname{ccdB}$  和  $\operatorname{ccdA}$  基因位于同一个操纵子上并相邻排列 $^{[6]}$   $\operatorname{ccdB}$  蛋白通过与  $\operatorname{DNA}$ -促旋酶形成复合体 干扰 DNA 的合成,在没有解毒剂存在的条件下,对宿主细胞具有致死作用[7]。对于 DB 3.1 大肠杆菌菌 株 其促旋酶第462 位的精氨酸 Arg 突变为半胱氨酸 Cys ,ccdB 毒性蛋白无法产生干扰作用 ,也就是说

收稿日期: 2016-01-15

基金项目: 国家自然科学基金(31360575);海南大学优秀研究生学位论文培育计划(M8K3124001003002); "木

薯和橡胶糖代谢、耐贫瘠和抗病抗理"项目(ZXBJH - XK001)

作者简介: 耿晓姗(1988 - ) 次 海南大学农学院 2013 级在读硕士研究生. E-mail: 1005871997@ qq. com

通信作者: 罗丽娟(1964 -) ,女 教授. 研究方向: 植物学. E-mail: Luoljd@ 126. com

DB3.1 菌株对 ccdB 毒性蛋白耐受 [8] 。以上特性 使得 ccdB 作为 1 种筛选标记 ,降低了筛选背景,简化了阳性克隆的筛选工作。笔者以  $pMD^{\circledR}$  19-T Simple Vector 为骨架载体 ,结合 Xcm I 的酶切特性和 ccdB 致死基因的阳性筛选机制,最终构建出一种高效、低背景,且容易大量制备、长久保存的新型 T-载体。

#### 1 材料与方法

- 1.1 载体、菌株与试剂 *ccdB* 基因扩增模板 Gateway rf A cassette (Invitrogen) ,T-载体骨架 pMD<sup>®</sup> 19-T Simple Vector (Takara) ,LA taq 酶 (Takara) ,T4 连接酶购于 Fermentas 公司 ,限制酶 *Xcm* I 购于 NEB 公司 ,其他内切酶均购于 Thermo Fisher Scientific 公司 ,大肠杆菌 DH 5α 和 DB 3.1 由本实验室保存。引物合成及基因测序由上海英骏生物技术公司完成。
- 1.2 ccdB 基因的扩增 使用表 1 中的引物 XT-F 和 XT-R ,以 Gateway rf A cassette 为模板 ,使用 LA taq 酶。按照以下程序进行 PCR 扩增: 预变性 94  $\,^\circ$ C 3 min ,变性 94  $\,^\circ$ C 30 s ,退火 50  $\,^\circ$ C 30 s ,延伸 72  $\,^\circ$ C 1 min , 32 个循环 终末延伸 72  $\,^\circ$ C 10 min。1.2  $\,^\circ$ C 琼脂糖凝胶电泳检测 PCR 产物 ,并回收。

Primer	Primer sequence/(5´-3´)	Product size/bp
XT-F	CCAATACTTGTATGGggcttactaaaag	705
XT-R	CCAATACTTGTATGGgtcgacctgcag	
M13-F	TGTAAAACGACGGCCAGT	817
M12 D	CACCAAACACCTATCACC	

表 1 ccdB 基因扩增引物及序列

Tab. 1 Primers and sequences

- 1.3 新型 T 载体 pXCT 的构建 将含有 ccdB 基因的片段 参照试剂盒 pMD® 19-T Simple Vector 说明书,连接到载体上 转入 DB3.1 感受态细胞 涂布在含有氨苄的 LB 平板上 37 °C 过夜培养,次日挑取单菌落。使用 XT-F,XT-R 进行阳性克隆鉴定。当 ccdB 基因片段位于骨架载体的启动子 lac 下游时才能顺利表达。为确定其在载体上的连接方向,使用引物 XT-F,M13-R 对阳性克隆进行方向确定 挑取有阳性条带的单菌落 摇菌 提质粒 送样测序 将验证正确的重组质粒命名为 pXCT。
- 1.4 pXCT 的致死检测及外源片段连接验证 为验证 pXCT 的致死能力 ,取 50  $_{ng}$  的 pXCT 质粒将其转入 100  $_{\mu}L$  DH5 $_{\alpha}$  感受态中 ,各取 50  $_{\mu}L$  涂布含 IPTG 和不含 IPTG 的 LB 平板 ,过夜培养 ,次日观察菌落生长情况。

使用 NEB 的 Xcm I 2  $\mu$ L NEBuffer 2.1 5  $\mu$ L pXCT 质粒 10  $\mu$ g 补水到 50  $\mu$ L 37  $^{\circ}$ C 过夜酶切 电泳后 切 胶回收大片段 ,该片段为线性 T-载体 将其命名为 pXCT-X。为了验证其连接能力 将试剂盒 pMD<sup>®</sup> 19-T Simple Vector 提供的对照 DNA (500 bp) 和本实验室由木薯中克隆出的 1 段单糖转运蛋白全长基因(约 1 500 bp) 作为插入片段分别与 pXCT-X 连接 pCR 检测阳性菌落并送样测序 确定其克隆效率。连接体系: 线性 T-载体 pXCT-X 20 ng p对照 DNA/目的基因 20 ng pT4 buffer 2 pL pT4 连接酶 0.4 pL 22 pC 连接 30 min。

#### 2 结果与分析

2.1 重组质粒 pXCT 的鉴定与分析 T-载体 pXCT 的构建示意图见图 1。为鉴定阳性克隆以及验证 ccdB 基因片段的插入方向,分别使用不同的引物进行菌落 PCR 检测,结果如图 2 所示。由图 2 (a) 可见,随机挑选的 10 个单菌落中,均为阳性菌落。为验证片段插入方向,使用表 1 中的引物 XT-F 和 M13-R 对已验证的 10 个阳性菌落再次进行 PCR 检测 结果如图 2 (b) 10 个阳性克隆中,有至少 4 个(泳道 1 3 6 6 10) 单菌落中 100 基因片段的插入方向是正向的。

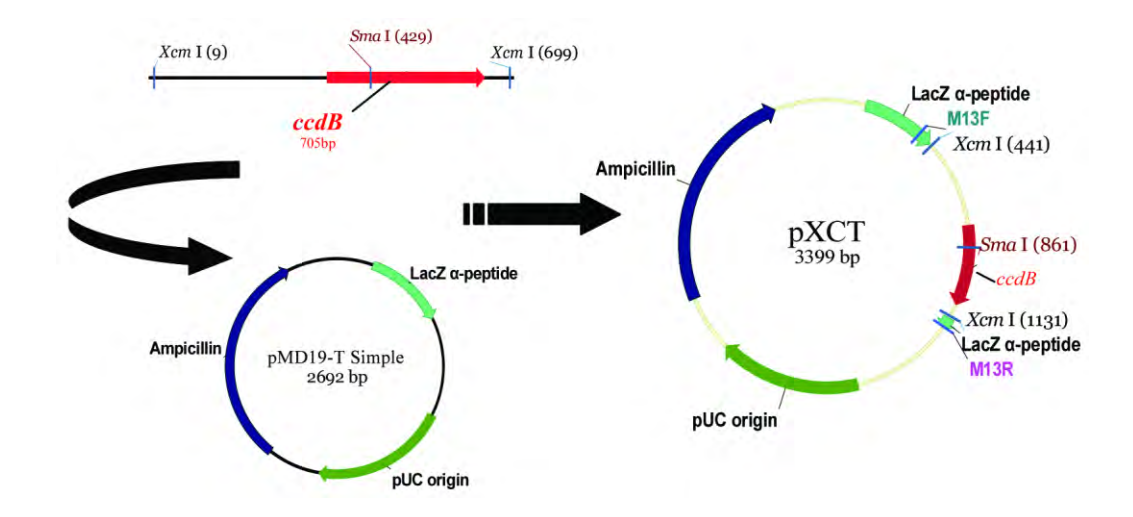


图 1 pXCT 的构建示意图

Fig. 1 Construction of vector pXCT

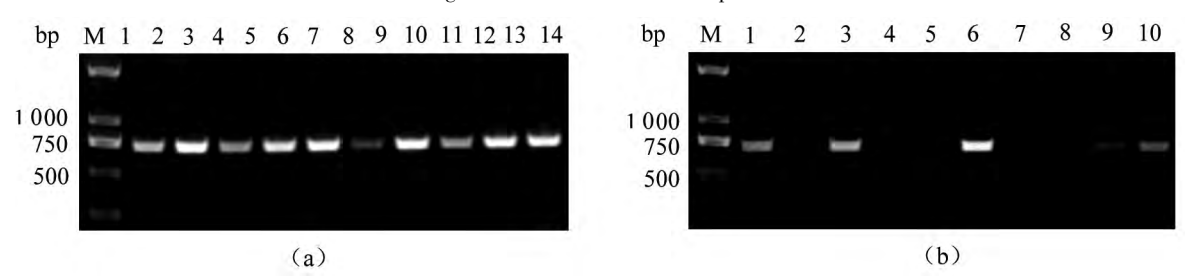


图 2 重组质粒 pXCT 阳性克隆筛选

(a) 1 ~ 14: 菌落 PCR 筛选阳性克隆; (b) 1 ~ 10: 菌落 PCR 筛选 ccdB 基因正向菌落

Fig. 2 Positive clone screening of recombinant plasmid pXCT

(a) 1-14: Clones for PCR identification; (b) 1-10: Clones for PCR direction identification; M: DNA Marker

为确定 pXCT 在大肠杆菌菌株 DH5 $\alpha$  上的致死能力 将其分别转入 DB3.1 和 DH5 $\alpha$  中做对比试验。为验证 ccdB 在 pXCT 中的表达是否需要 IPTG 的诱导 ,又分别将转入 pXCT 的 DH5 $\alpha$  涂布在含有 IPTG 和不含有 IPTG 的 LB 培养基上 ,其生长结果如图 3 所示。涂布 DB3.1 菌株的 LB 平板布满大量单菌落 ,而涂布 DH5 $\alpha$  菌株的 LB 平板上只生长出极少数的几个单菌落。说明 pXCT 质粒对不耐受 ccdB 毒性蛋白的 DH5 $\alpha$  菌株致死效果明显 ,并且其致死能力不依赖于 IPTG 的诱导表达。

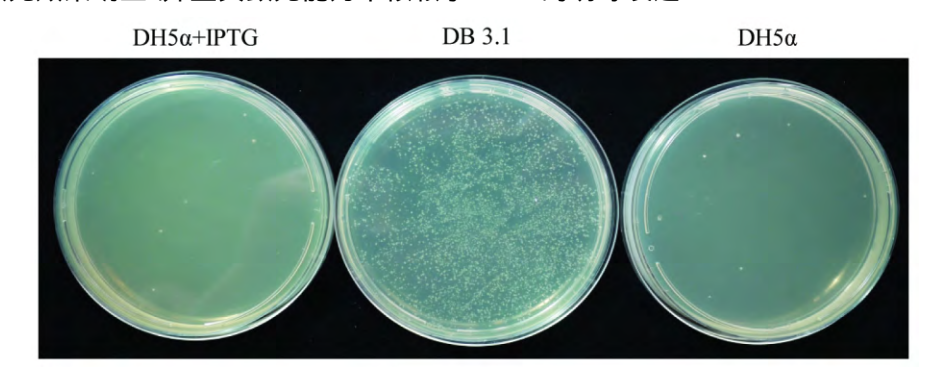


图 3 pXCT 质粒在 DB3.1 和 DH5α 的致死性比较

Fig. 3 Comparison of lethal effect of pXCT plasmid in the DB3. 1 and DH5 $\alpha$  strains

2.2 T 载体 pXCT-X 的构建及连接外源片段验证 pXCT 经 Xcm I 酶切后电泳结果如图 4-a。由图可以看出 pXCT 经酶切得到 2 个片段 其中小片段为被切掉的含有 ccdB 的片段 大小约为 700 bp 大片段为 3c

末端突出  $1 \land T$  的片段 ,该片段即为 pXCT-X。将其连接对照 DNA 和目的基因后 ,各随机挑取  $14 \land P$  落 ,用 M13-F ,M13-R 引物进行 PCR 检测。两者挑取的单菌落中 ,各有  $13 \land P$  元为阳性克隆 ,如图 4-D (泳道  $2 \land P$   $2 \land P$  )、图  $2 \land P$  、图  $2 \land P$  、 $2 \land$ 

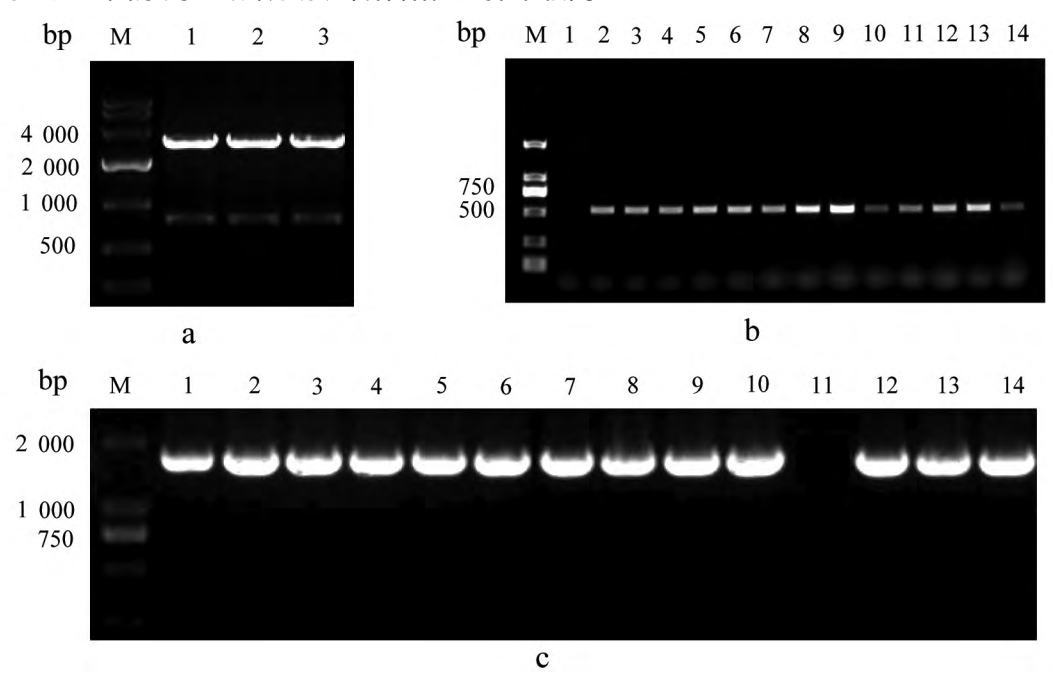


图 4 pXCT 的酶切鉴定以及克隆效率验证

(a) 1~3: pXCT 经 *Xcm* I 酶切验证 Marker: DL10000; (b) 1~14: 重组质粒 pXCT 连对照基因阳性克隆检测 Marker: DL1000; (c) 1~14: 重组质粒 pXCT 连目的基因阳性克隆检测 Marker: DL2000

Fig. 4 Enzyme digestion (a) and the cloning test (b) (c) of pXCT

- (a) 1-3: Enzyme digestion of pXCT , Marker: DL10000; (b) 1-14: Cloning test of pXCT with control DNA , Marker: DL1000;
- (c) 1-14: Cloning test of pXCT with target DNA, Marker: DL2000

#### 3 讨论

T-A 克隆因其操作简单、连接高效等特点被广泛应用于实验室分子克隆中。然而,T-A 克隆中用到的商业 T- 载体存在着价格昂贵,产品质量不一且只能一次性使用等弊端 $^{[9]}$ 。需要进行大批量分子克隆时,如果实验室能够在有限的条件下,制备出成本低廉,高效克隆且可永久保存的 T- 载体,将会是一种极大的便利。

ccdB 基因最早由 Philippe [8] 等人引入载体中 通过 ccdB 和 PUC18/PUC19 多克隆位点的融合 构建出 pKIL18/19 重组质粒。外源片段的插入会破坏 ccdB 的正常表达 ,不耐受 ccdB 毒蛋白的细菌得以正常生长 ,反之则无法生长。HuLL [10] 利用 ccdB 本身含有的 Sma I 位点 ,对其进行非翻译突变 ,在 ccdB 基因中引入 1 个 EcoR V 位点 ,载体被其中任何 1 个限制性内切酶切开都会得到一个平末端的载体 ,该载体可直接用于连接平末端的 PCR 产物。在分子克隆中 ,平末端片段的连接比黏性末端片段连接在操作上更繁琐 ,连接效率更低 ,而 T 载体因其独特的连接方式 ,克服了这些不足。

为了降低载体自连 提高阳性克隆筛选效率 笔者利用 Xcm I 独特的碱基识别内切特性 ,结合 ccdB 毒性蛋白的致死能力,制备出新型 T – 载体 pXCT(图1)。该载体在插入 ccdB 基因后,在  $DH5\alpha$  和 DB3.1 两种菌株的致死差异明显(图3),进一步实验证明 ccdB 的表达并不直接需要 IPTG 的诱导,其在菌株中,仅仅是本底表达,致死效果已十分明显(图3),此方法将简化克隆过程中的部分步骤。经过 Xcm I 酶切后制备出来的线性 T—载体 pXCT—X 在连接能力上表现优越,阳性克隆比例高(图4),并不逊色于商业 T 载体。

236 热带生物学报 2016年

 $pMD^{\oplus}$  19-T Simple Vector 具有在宿主细胞中高拷贝复制的能力,且其本身不含任何酶切位点,当克隆含有限制酶酶切位点的基因片段时,后期的酶切验证简单、可靠,为下游的亚克隆等实验提供了便利。pXCT 在整合以上所有优点的基础上,又增加了 ccdB 毒性蛋白的筛选标记,并且保留了原有载体上的测序序列,为克隆片段的测序提供了方便。因此,pXCT 是 1 种新型的高效低背景 T-载体,并且在载体构建过程中使用的都是常规药品,技术简单、成本低廉,后期效果显著,具备推广意义。

### 参考文献:

- [1] Ichihara Y, Kurosa Wa Y. Construction of new T vectors for direct cloning of PCR products [J]. Gene, 1993, 130 (1): 153-154.
- [2] Holton T, Graham M. A simple and efficient method for direct cloning of PCR products using ddT-tailed vectors [J]. Nucleic Acids Research, 1991, 19(5): 1156.
- [3] Aranishi F ,Okimoto T. Engineered *Xcm*I cassette-containing vector for PCR-based phylogenetic analyses [J]. Journal of Genetics , 2004 83(1): 33 34.
- [4] Mead D A , Pey N K , HERMSTADT C , et al. A universal method for the direct cloning of PCR amplified nucleic acid [J]. Nature Biotechnology , 1991. 9(7): 657 - 663.
- [5] Mruk I , Kobayashi I. To be or not to be: regulation of restriction modification systems and other toxin antitoxin systems
  [J]. Nucleic acids research , 2013 42(1): 70 86
- [6] Ogura T, Hiraga S. Mini-F plasmid genes that couple host cell division to plasmid proliferation [J]. Proceedings of the National Academy of Sciences, 1983 80(15): 4784 4788.
- [7] Bernard P, Couturier M. Cell killing by the F plasmid CcdB protein involves poisoning of DNA topoisomerase II complexes [J]. Journal of Molecular Biology, 1992. 226(3): 735 745.
- [8] Bernard P, Gabarit P, Bahassie M, et al. Positive-selection vectors using the F plasmid *ccdB* killer gene [J]. Gene, 1994, 148(1): 71 74.
- [9] Zhou M Y, Celso G S. Universal TA cloning [J]. Current Issues in Molecular Biology, 2000 2(1): 1-7.
- [10] Hu L L , Zhang S S , Li X X , et al. The use of the *ccdB* lethal gene for constructing a zero background vector in order to clone blunt-end PCR Products [J]. Molecular Biology , 2010 44(1): 161 164.

# Construction of T-Vector with High Efficiency and Low Background based on the *ccdB* Killer Gene

GENG Xiaoshan<sup>1</sup>, LIU Qin<sup>1</sup>, DANG Huijie<sup>2</sup>, WU Junzheng<sup>2</sup>, LUO Lijuan<sup>1</sup> (1. College of Agronomy, Hainan University, Haikou, Hainan 570228, China;

2. Hainan Key Laboratory for Sustainable Utilization of Tropical Bioresources, Hainan University, Haikou, Hainan 570228, China)

Abstract: A simple and effective method for construction of the T-vector with high efficiency and low background was developed under the universal conditions in laboratory for improving the efficiency of PCR products cloning. The *ccdB* gene fragment containing restriction enzyme cleavage site was inserted as a medium DNA to the vector backbone pMD19-T Simple. The recombinant plasmid was confirmed by PCR identification, digestion pattern and sequencing, and the recombinant plasmid can then produce a liner T-vector by *Xcm* I restriction enzyme digestion. This T-vector reduced the background interference of vector self-ligation, and improved the efficiency of T-A cloning with high positive cloning rate. The vector had not only high efficiency and low background but also many advantages of pMD19-T Simple vector, and its preparation was quite simple and convenient for molecular cloning.

**Keywords**: high efficiency; low background; ccdB gene; pMD19-T Simple Vector; T-vector